

## КРАТКИЕ СООБЩЕНИЯ

### ПЕРЕХОДНЫЕ ПРОЦЕССЫ В $n^+$ — $p$ -СТРУКТУРАХ НА ОСНОВЕ $Cd_xHg_{1-x}Te$

М. Г. Андрухив, С. В. Белотелов, И. С. Вирт

Дрогобычский государственный педагогический институт им. И. Франко,  
Дрогобыч, Украина

(Получено 30 ноября 1992 г. Принято к печати 24 мая 1993 г.)

Исследование переходных характеристик  $p$ — $n$ -переходов имеет важное значение для создания быстродействующих диодов. Особенно это касается фотодиодов на основе  $Cd_xHg_{1-x}Te$ , в которых прохождение видеоимпульсов достаточно сложное из-за технологических особенностей создания  $p$ — $n$ -перехода. Одним из основных способов создания  $p$ — $n$ -переходов в материале  $Cd_xHg_{1-x}Te$  является метод ионной имплантации, при котором наряду с введением примеси образуется сравнительно толстый слой полупроводника с повышенной плотностью радиационных дефектов донорной природы<sup>[1]</sup>. В большинстве случаев этот слой обладает  $n^-$ - или  $p^-$ -проводимостью<sup>[2, 3]</sup> по сравнению с базовыми областями. Очевидно, что характеристики такой многослойной структуры будут сказываться на инерционности переходных процессов фотодиодов.

В данной работе исследовались переходные характеристики  $n^+$ — $p$ -структур на основе  $Cd_xHg_{1-x}Te$  ( $x = 0.24$ ). В образцах  $p$ -типа проводимости имплантированы ионами  $B^+$  с энергией 100 кэВ создавались  $n^+$ -области и наносились защитное покрытие из  $ZnS$  и токоведущие контакты из Al. Структуры специально не отжигались. Переходные характеристики исследовались с помощью запоминающего осциллографа С8-13 по спаду послеинжекционного напряжения или фотоотклика от импульса лазера длительностью  $\Delta t \approx 10^{-8}$  с и длиной волны  $\lambda = 0.33$  мкм.

Прохождение прямоугольного импульса тока через  $n^+$ — $p$ -структуру при температуре  $T = 77$  К показано на рис. 1. Характерным на осциллограмме является спад послеинжекционной эдс. За участком падения напряжения на базе структуры наблюдается почти линейное изменение эдс с течением времени, соответствующее высокому уровню инжекции. На этом участке выполняется следующее соотношение<sup>[4]</sup>

$$\frac{dU(t)}{dt} = -\frac{kT}{q} \frac{1}{\tau}, \quad (1)$$

где  $\tau$  — большее из времен релаксаций, составляющих переходной процесс. Определение времени релаксации по зависимости  $U(t)$  дает значение  $\tau = 3 \cdot 10^{-6}$  с. При больших временах, что соответствует низкому уровню инжекции (а также при импульсах прямого тока малой амплитуды), линейный закон изменения послеинжекционной эдс на  $n^+$ — $p$ -структуре преобразуется в экспоненциальный с той же постоянной времени.

Приведем оценку времен релаксации для различных возможных составляющих.

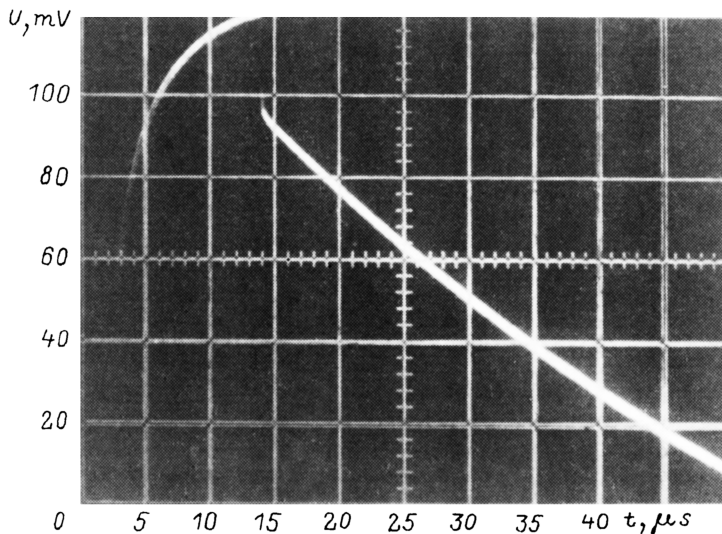


Рис. 1. Осциллограмма прохождения прямого импульса тока через  $n^+ - p$ -переход.

1. Время рекомбинации неосновных неравновесных носителей заряда (ННЗ) в  $n^+ - p$ -структуре больше в  $p$ -области и при концентрации акцепторов  $N_A \approx 10^{16} \text{ см}^{-3}$  составляет при оже-механизме рекомбинации  $\tau = 10^{-8} \text{ с}$  [5].

2. Ограничение времени переходного процесса  $RC$ -составляющей [где  $R \approx 400 \text{ Ом}$  — сопротивление базы,  $C \approx 10^{-10} \text{ Ф}$  — диффузионная (при прямом смещении) емкость структуры] происходит при временах, меньших  $4 \cdot 10^{-8} \text{ с}$ . Таким образом, каждая из составляющих переходного процесса дает время релаксации примерно на 2 порядка меньше, чем наблюдается на эксперименте. Естественно предположить, что основной вклад в релаксацию послеинжекционной эдс вносит рекомбинация ННЗ в промежуточной компенсированной  $n^-$ -области (толщиной  $\sim 1 - 3 \text{ мкм}$  [2]), находящейся между  $n^+$ - и  $p$ -областями структуры.

Полученное по спаду послеинжекционной эдс значение  $\tau$  согласуется с временем релаксации фотоотклика в фотovoltaическом режиме при  $U = 0$  (рис. 2),

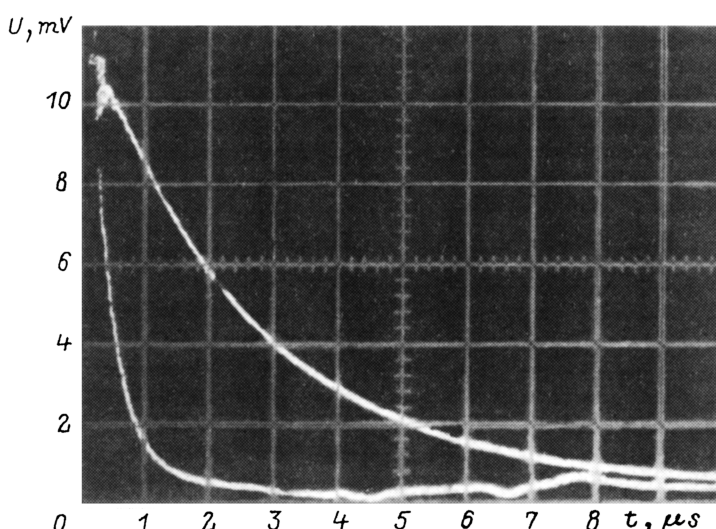


Рис. 2. Осциллограмма релаксации фотоотклика  $n^+ - p$ -структуры при импульсном освещении: верхняя кривая (1) для фотovoltaического режима, нижняя (2) — для фотодиодного.

кривая 1). Учитывая, что изменение фотоотклика при этом происходит из-за рекомбинации и рассасывания ННЗ, при низком уровне возбуждения время релаксации будет совпадать с временем жизни дырок ( $\tau_p$ ) в  $n^-$ -слое. Поскольку при оже-механизме рекомбинации  $\tau_p \sim n^{-2}$ , оценка концентрации электронов в этом слое дает значение  $n \approx 5 \cdot 10^{14} \text{ см}^{-3}$  [5].

Время релаксации фотоотклика в фотодиодном режиме (рис. 2, кривая 2) при поверхностном возбуждении ограничивается следующими факторами.

1. Пролетом ННЗ через область пространственного заряда (ОПЗ) при толщине ОПЗ  $l \approx 0.1 \text{ мкм}$  и скорости насыщения  $\tau_{SCR} \approx 10^{-10} \text{ с}$ .

2. Диффузией ННЗ дырок через суммарный ( $l_i$ )  $n^+$ - и  $n^-$ -слой, причем вследствие повышенной дефектности  $n$ -слоя подвижность носителей заряда должна быть достаточно низкой. Учитывая, что  $l_i = \sqrt{\tau_p D_p}$ , диффузионная компонента времени релаксации фотоотклика в фотодиодном режиме составляет  $\tau_p \approx 2 \times 10^{-7} \text{ с}$  и согласуется с экспериментальным значением ( $D_p$  — коэффициент диффузии дырок).

Следует отметить, что влияние поверхности на переходные характеристики в данном случае несущественно. При достаточно узкой области  $n$ -типа проводимости, когда выполняется соотношение  $d \ll \sqrt{D_p \tau_p}$ , время релаксации, связанное с поверхностной рекомбинацией, имеет вид [4]

$$\tau_s = f(s) \frac{d^2}{D_p}, \quad (2)$$

где  $f(s)$  — функция от скорости поверхностной рекомбинации при  $s \rightarrow \infty$ ,  $f(s) = 0.4$ , а при  $s \rightarrow 0$ ,  $f(s) \approx 0$ . При максимальном значении  $s - \tau_s \approx 8 \cdot 10^{-8} \text{ с}$ .

Таким образом, достаточно большие времена релаксации видеоимпульсов в  $n^+—p$ -структурах на основе  $Cd_xHg_{1-x}Te$  можно связать с промежуточной  $n^-$ -областью, возникающей в процессе изготовления  $n^+—p$ -перехода.

#### СПИСОК ЛИТЕРАТУРЫ

- [1] A. Fraenkel, S. E. Schacham, C. Bahir, E. Finkman. J. Appl. Phys., 60, 3916 (1986).
- [2] D. L. Spears. Lasers and Electron. Conf. Proc. Arlando. Fla., 113. New York (1989).
- [3] С. В. Белотелов, В. И. Иванов-Омский, А. И. Ижнин, В. А. Смирнов. ФТП, 25, 1058 (1991).
- [4] Ю. Р. Носов. Физические основы работы полупроводникового диода в импульсном режиме, 264. М. (1968).
- [5] А. В. Любченко, Е. А. Сальков, Ф. Ф. Сизов. Физические основы полупроводниковой инфракрасной фотоэлектроники, 254. Киев (1984).

Редактор В. В. Чалдышев